

孤饱和了

ENVIRONMENTAL SCIENCE

ISSN 0250-3301 CODEN HCKHDV HUANJING KEXUE

基于高分影像的城市水体遥感综合分级方法 杨子谦, 刘怀庆, 吕恒, 李云梅, 朱利, 周亚明, 李玲玲, 毕顺



- 主办 中国科学院生态环境研究中心
- ■出版斜学出版社





2021年5月

第42卷 第5期 Vol.42 No.5

ENVIRONMENTAL SCIENCE

第42卷 第5期 2021年5月15日

目 次

北京冬季 PM _{2.5} 中有机气溶胶的化学特征和来源解析
北京地区 2019 年 2~3 月供暖结束前后两次污染过程特征分析 尹晓梅,蒲维维,王继康,刘湘雪,乔林 (2110)
北京 2019 年冬季一次典型霾污染特征与成因分析 廉涵阳,杨欣,张普,陈义珍,杨小阳,赵妤希,何友江,赵丹婷(2121)
青岛沿海地区夏季和冬季新粒子生成特征对比 孙悦,朱玉姣,孟赫,刘兵,刘玉虹,董灿,姚小红,王文兴,薛丽坤(2133)
太原市城乡居民区采暖季室内灰尘中重金属的污染特征及其生态风险评价 黄浩,徐子琪,严俊霞,赵秀阁,王丹璐 (2143)
西安市新装修公共场所空气污染物浓度分析及健康风险评价 范洁, 樊灏, 沈振兴, 党文鹏, 郑伟, 王志华, 付毅 (2153)
超低排放典型燃烧源颗粒物及水溶性离子排放水平与特征 胡月琪,王铮,郭建辉,冯亚君,丁萌萌,颜旭 (2159)
合肥市夏季大气颗粒物中微生物群落的高通量测序分析 姜少毅, 孙博文, 代海涛, 王润芳, 马大卫, 朱仁斌 (2169)
郑州市细颗粒物时空差异及管控措施影响 董喆,袁明浩,苏方成,张剑飞,孙佳傧,张瑞芹(2179)
2016~2019年江西省臭氧污染特征与气象因子影响分析 线悦, 许彬, 夏玲君, 陈燕玲, 邓力琛, 王欢, 张根 (2190)
天山北坡城市群气溶胶光学特性时空分布特征 ····································
基于高分影像的城市水体遥感综合分级方法 杨子谦, 刘怀庆, 吕恒, 李云梅, 朱利, 周亚明, 李玲玲, 毕顺 (2213)
太湖水体 Chl-a 预测模型 ARIMA 的构建及应用优化 李娜,李勇,冯家成,单雅洁,钱佳宁(2223)
松花湖水质空间差异及富营养化空间自相关分析 丁洋, 赵进勇, 张晶, 付意成, 彭文启, 陈渠昌, 李艳艳 (2232)
会仙岩溶湿地丰平枯水期地表水污染及灌溉适用性评价 朱丹尼, 邹胜章, 李军, 樊连杰, 赵一, 谢浩, 朱天龙, 潘民强, 徐利 (2240)
京杭大运河中下游段天然水化学变化特征及驱动因素 程中华,邓义祥,卓小可,代丹,于涛(2251)
次降雨过程中不同土地利用配置对径流中氮流失的影响 罗义峰,陈方鑫,周豪,龙翼,严冬春,谭文浩,李丹丹,陈晓燕(2260)
碳氮氧同位素解析典型岩溶流域地下水中硝酸盐来源与归趋 任坤,潘晓东,梁嘉鹏,彭聪,曾洁(2268)
冰封状态下达里湖冰-水中浮游细菌群落结构差异 李文宝,杨旭,田雅楠,杜蕾(2276)
城市再生水河道沉积物细菌群落空间变化分析;以京津冀北运河为例 邱莹, 靳燕, 苏振华, 邸琰茗, 赵栋梁, 郭逍宇 (2287)
太湖春夏两季反硝化与厌氧氨氧化速率的空间差异及其影响因素 赵锋,许海,詹旭,朱广伟,郭宇龙,康丽娟,朱梦圆(2296)
三峡库区典型支流水库浮游动植物群落结构特征及其与环境因子的关系 陈莎,谢青,付梅,江韬,王永敏,王定勇(2303)
铁硫改性生物炭去除水中的磷桑倩倩,王芳君,赵元添,周强,蔡雨麒,邓颖,田文清,陈永志,马娟(2313)
钢渣对水体中磷的去除性能及机制解析
BS-18 两性修饰膨润土对四环素和诺氟沙星复合污染的吸附 ························· 王新欣,孟昭福,刘欣,王腾,胡啸龙,孙秀贤 (2334)
Ag ₃ PO ₄ /g-C ₃ N ₄ 复合光催化剂的制备及其可见光催化性能 ······ 高闽闯, 刘海成, 孟无霜, 郝双玲, 薛婷婷, 陈国栋, Joseph Acquah (2343)
可见光驱动下罗丹明 B 自活化过硫酸盐降解双酚 A
铁钛共掺杂氧化铝诱发表面双反应中心催化臭氧化去除水中污染物 张帆,宋阳,胡春,吕来(2360)
硫化铁铜双金属复合材料的制备及除铬机制
电催化-生物电化学耦合系统处理青霉素废水的机制
缺氧/好氧交替连续流的生活污水好氧颗粒污泥运行及污染物去除机制 李冬,杨敬畏,李悦,李帅,张诗睿,王文强,张杰(2385)
反硝化除磷污泥聚集体内原位除磷活性及有机物浓度的影响 吕永涛、姜晓童、徒彦、王旭东、潘永宝、刘爽、崔双科、王磊(2396)
基于臭氧旁路处理的污泥原位减量技术工艺 薛冰,刘宾寒,韦婷婷,王先恺,陈思思,董滨(2402)
活性炭对城市有机固废厌氧消化过程抗生素抗性基因行为特征的影响 马佳莹, 王盼亮, 汪冰寒, 苏应龙, 谢冰 (2413)
6种农业废弃物初期碳源及溶解性有机物释放机制
中国典型农田土壤有机碳密度的空间分异及影响因素 李成,王让会,李兆哲,徐扬(2432)
不同水分条件和微生物生物量水平下水稻土有机碳矿化及其影响因子特征
青藏高原林地土壤的氮转化特征及其影响因素分析:以祁连山和藏东南地区为例 何芳,张丽梅,申聪聪,陈金全,刘四义(2449)
基于物元可拓模型的兰州市主城区公园表土重金属污染评价 胡梦珺,李春艳,李娜娜,吉天琪,郑登友(2457)
长期施用化肥和有机肥对稻田土壤重金属及其有效性的影响
川南山区土壤与农作物重金属特征及成因 韩伟,王成文,彭敏,王乔林,杨帆,徐仁廷(2480)
宁东能源化工基地核心区表层土壤中多环芳烃的空间分布特征、源解析及风险评价 杨帆,罗红雪,钟艳霞,王幼奇,自一茹(2490)
重金属钝化剂阻控生菜 Cd 吸收的功能稳定性和适用性 庞发虎,吴雪姣,孔雪菲,曾宠,王晓宇,陈兆进,姚伦广,韩辉(2502)
典型污染稻田水分管理对水稻镉累积的影响 张雨婷,田应兵,黄道友,张泉,许超,朱捍华,朱奇宏 (2512)
油茶果壳改性生物炭吸附性能及其耦合淹水对土壤 Cd 形态影响 蔡彤, 杜辉辉, 刘孝利, 铁柏清, 杨宇 (2522)
土地利用变化对松花江下游湿地土壤真菌群落结构及功能的影响
渔业复垦塌陷地抗生素抗性基因与微生物群落 程森,路平,冯启言(2541)
3种常用除草剂对细菌抗生素耐药性的影响 李曦,廖汉鹏,崔鹏,白玉丹,刘晨,文畅,周顺桂(2550)
污水再生利用微生物控制标准及其制定方法探讨
《环境科学》征订启事(2439) 《环境科学》征稿简则(2479) 信息(2152, 2231, 2286)
was a construction of the second of the seco



松花湖水质空间差异及富营养化空间自相关分析

丁洋, 赵进勇*, 张晶, 付意成, 彭文启, 陈渠昌, 李艳艳

(中国水利水电科学研究院水生态环境研究所,北京 100038)

摘要:为识别中国东北地区最大的人工湖——松花湖水质空间差异与富营养化的空间分布特征,运用方差分析与因子分析对丰满水库主库区、松花江三湖保护区实验区和蛟河回水区这3个区域2017年的水质采样检测结果进行了分析,运用综合营养状态指数法评价了湖区的营养状况,采用空间自相关分析对松花湖湖区富营养化水平的空间相关性与聚集度状况进行了研究.主要结果如下:①方差分析结果表明,除溶解氧(DO)与叶绿素 a(Chla)外,总氮(TN)、总磷(TP)、水温(WT)和 pH 值在松花湖3个区域内存在显著性差异(P<0.05),其中 TN 与 TP 区域差异最为明显;②因子分析结果表明,气候条件因子(WT)、营养盐因子(TN、TP)与藻类生物量因子(Chla)变化主导着湖区水质的变化;③综合营养状态指数法结果表明,松花湖湖区营养状态整体为轻度富营养化,3个区域的富营养化水平由强到弱依次为:蛟河回水区>丰满水库主库区>松花江三湖保护区实验区;④全局空间自相关的结果表明,湖区富营养化水平整体呈现显著的正空间自相关关系,由于区域富营养化水平影响范围较大,松花湖富营养化水平的空间异质性不强;⑤局部空间自相关的结果表明,蛟河回水区的中部及北部地区是湖区富营养化水平的热点(高/高集聚)区域(P<0.01),松花江三湖保护区实验区的中部是湖区富营养化水平的冷点(低/低集聚)(P<0.05).因此进行松花湖水环境治理时,应将富营养化防治的重点区域落在蛟河回水区与丰满水库主库区.

关键词:水质; 富营养化水平; 空间特征; 空间自相关; 松花湖

中图分类号: X524 文献标识码: A 文章编号: 0250-3301(2021)05-2232-08 DOI: 10.13227/j. hjkx. 202009244

Spatial Differences in Water Quality and Spatial Autocorrelation Analysis of Eutrophication in Songhua Lake

DING Yang, ZHAO Jin-yong*, ZHANG Jing, FU Yi-cheng, PENG Wen-qi, CHEN Qu-chang, LI Yan-yan (Department of Water Ecology and Environment, China Institute of Water Resources and Hydropower Research, Beijing 100038, China)

Abstract: To identify the spatial differences in the water quality and eutrophication characteristics of Songhua Lake, the largest artificial lake in northeast China, analysis of variance (ANOVA) and factor analysis were used to analyze the water quality sampling and testing results in 2017 in three regions, namely the main reservoir area of the Fengman Reservoir (MRAFR), the experimental area of the Songhua River Three Lakes Protection Zone (EASRTLPZ), and the Jiaohe River backwater area (JRBA). The nutrient status of the lake was evaluated by the trophic state index method, and the spatial correlation and aggregation status of the eutrophication level in Songhua Lake were studied using spatial autocorrelation analysis. The main results were as follows: 🛈 the ANOVA showed that, except for dissolved oxygen and chlorophyll-a (Chl-a), there were significant differences (P < 0.05) in the total nitrogen (TN), total phosphorus (TP), water temperature (WT), and pH in the three areas of Songhua Lake, with the clearest difference between TN and TP. ② The factor analysis showed that the changes in the climatic condition factor (WT), nutrient salt factors (TN and TP), and algal biomass factor (Chl-a) dominated the water quality in the lake. ③ The results of the trophic state index showed that the nutrient status of Songhua Lake as a whole is mildly eutrophic, and the eutrophication levels of the three regions from strong to weak are JRBA > MRAFR > EASRTLPZ. ④ The global spatial autocorrelation showed that the eutrophication level of the lake as a whole has significant positive spatial autocorrelation owing to the influence of regional eutrophication levels. The spatial heterogeneity of the eutrophication level of Songhua Lake is low. ⑤ The results of the local spatial autocorrelation showed that the central and northern areas of JRBA are the hot spots (high/high concentration) of eutrophication in the lake (P < 0.01), and the central part of EASRTLPZ is the cold spot (low/low concentration) of eutrophication in the lake (P < 0.05). Therefore, when conducting water environmental management of Songhua Lake, the key areas for eutrophication control should be the JRBA and MRAFR.

Key words: water quality; eutrophication level; spatial characteristics; spatial autocorrelation; Songhua Lake

目前,水质恶化、生态功能退化等问题是全球大部分湖泊共同面临的生态环境问题^[1],尤其是对湖泊生态系统造成巨大威胁的富营养化问题已引发全球关注^[2].中国拥有湖泊众多,其中面积大于1 km²的湖泊就已超过2 600个^[3],然而,这些湖泊却仍旧面临着水质日益恶化、富营养化现象日益严重和生物多样性减少等不可忽视的生态环境问题^[4].水体

富营养化是指营养物质富集导致浮游植物过度生长,从而造成初级生产力和次级生产力失衡而引起

收稿日期: 2020-09-25; 修订日期: 2020-11-02

基金项目:中国水科院创新领军人才项目(WE0145B532017);国家 水体污染控制与治理科技重大专项(2018ZX07105-002); 水利部公益性行业科研专项(201501030)

作者简介:丁洋(1993~),男,博士研究生,主要研究方向为流域水

环境循环综合调控, E-mail: iwhrdy@163.com

* 通信作者,E-mail:zhaojy@iwhr.com

的^[5]. 众多研究表明,水体富营养化会对环境、社会经济甚至人类健康构成威胁^[6]. 2007 年中国太湖局部蓝藻暴发造成无锡市 200 万人生活用水严重短缺^[7],2014 年美国伊利湖流域西部有毒藻类暴发导致 40 万人供水中断^[8]. 松花湖是吉林省的重要饮用水水源地,同时还肩负着发电、防洪、水产养殖、灌溉和旅游等多重功能,在吉林省的经济建设和生态环境改善等方面均发挥着重要作用^[9]. 然而,文献[10]对 2017~2018 年的数据显示,松花湖湖区水体总体已为IV类水水质,且面临着轻度富营养的问题,甚至湖区中的某些地方已经长期呈现富营养化状态^[11],难以满足当地居民日常用水的需求.

氮磷等污染物的扩散污染是造成富营养化的主 要驱动力[12],对水质监测数据分析与评价有助于进 一步识别区域富营养化水平.目前,多元统计分析方 法被广泛应用于水质分析中,例如方差分析[13,14]、 聚类分析[15]、主成分分析[16]和因子分析[17]等,这些 方法在解析水质数据,评价水质,分析水质时空变 化,识别水质潜在污染源等方面得到了广泛的应用. 中国环境监测总站推荐了一种基于营养水平指数的 湖库富营养化评价方法,即综合营养状态指数法,该 方法旨在识别湖库中的营养水平[18]. 综合营养状态 指数法通过将单变量分析的简单性与多变量分析的 准确性相集成,已被广泛采用[19]. 但是这些研究在 综合营养状态指数法的结果分析中没有明确考虑富 营养化的空间依赖性,湖区不同区域的富营养化水 平通常表现出相似的趋势. 为了实现多元统计方法 中的参数统计检验,可以合理地消除这些看似自相 关的位点,但是这种做法会减少样本位点的数量,通 常难以为整个研究区域得出可靠的结论. 空间自相 关是指某些变量在同一或不同分布区域内的观测数 据之间潜在的相互依赖性,空间自相关分析是分析 空间分布格局,依赖程度的常用技术[20].目前空间 自相关研究领域主要集中在地理[21]、经济[22]和农 业[23]等领域,分别用于研究特定区域规律性现象; 区域经济水平和经济分布格局时空变化规律:农业 资源与土壤成分的空间异质性分析等,在环境领域 应用较少,仅在大气污染、土壤污染等方面进行研 究[24~27],使用空间自相关分析湖区富营养化水平的 空间格局与空间依赖性的研究较少. 评价湖泊的营 养状况可以说明湖泊生态系统的环境质量水平,可 用于指导制定适当的缓解策略[28]. 基于此,为了识 别松花湖的水质空间差异与富营养化的空间分布特 征,本研究基于松花湖水质监测数据,运用多元统计 方法揭示松花湖水质的空间差异;采用综合营养状 态指数法评价了松花湖的富营养化水平;此外,创

新性地运用空间自相关方法对富营养化评价结果在全局和局部地区的聚集特征进行表征,揭示出松花湖湖区营养状态的空间分布格局与空间依赖性,以期为松花湖水环境治理提供理论依据,对松花湖水生态环境问题政策制定具有一定的参考价值.

1 研究区域与研究方法

1.1 研究区域概况

松花湖(43°07′~43°50′N,126°45′~127°38′E)位于中国吉林省吉林市东部,地处东北腹地长白山脉向松嫩平原过渡地带的松花江畔,地跨桦甸市、蛟河市和吉林市丰满区,是中国第3大人工湖泊,同时也是中国东北地区最大人工湖泊^[29]. 松花湖是丰满水电站对松花江筑坝而形成的,流域面积42500km²,其中湖水平均面积550km². 松花湖气候属北温带大陆性季风气候,全年平均气温4.4℃,多年平均降水量657mm,降雨多集中在6~9月,约占全年降水总量的70%. 湖区有3条主要入湖河流,分别为松花江、辉发河和蛟河,根据吴计生等^[30]的研究,将松花湖湖区分为3个区域,分别为丰满水库主库区、松花江三湖保护区实验区和蛟河回水区,位置见图1.

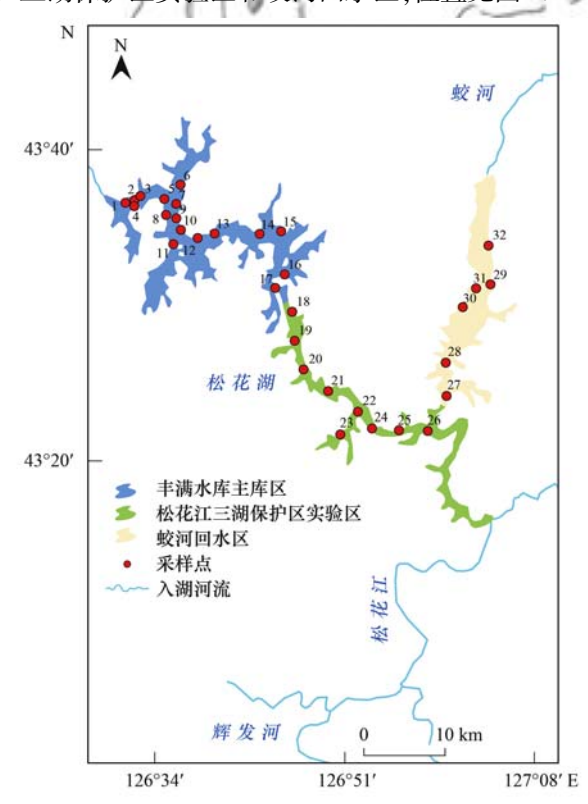


图 1 松花湖湖区示意及取样点分布示意

Fig. 1 Schematic diagram of Songhua Lake and the distribution of the sampling points

1.2 研究方法

1.2.1 样品采集与分析

于2017年5月11日,在松花湖湖区选取32个

采样点进行水质调研(图1). 监测指标包括:总氮 (TN)、总磷(TP)、叶绿素 a(Chla)、水温(WT)、溶解 氧(DO)和 pH 值,同时,为减小系统误差,以上样品 均重复测定 3 次,数据分析过程中取其平均值.本研 究中进行的采样、预处理、硝化和测量程序均符合文 献[31]的要求.

1.2.2 基于多元统计分析方法的水质空间异质性 分析

方差分析是一种假设检验,用于两个及以上样 本均数差别的显著性检验,其基本原理是把全部观 测数据的总变异分解为组间变异与组内变异,如果 组间变异远远大于组内变异,则认为控制因素对因 变量产生了影响[32]. 本研究以监测点空间位置为控 制因素,采用方差分析识别松花湖水质的空间差异.

因子分析是通过分析观测指标间的相互关系来 产生源成分谱进而把复杂变量归结为数量较少的综 合特征因子,可以对变量进行有效地降维[33]. 本研 究采用因子分析探索松花湖水质因子主导因素,从 宏观上提取水质数据的数学特征.

1.2.3 综合营养状态指数法

本研究采用综合营养状态指数法评价松花湖富 营养化水平. 综合营养状态指数法模型的计算如下:

TLI =
$$\sum_{i=1}^{m} w_{j} \text{TLI}_{j}$$
; $W_{j} = r_{ij}^{2} / \left(\sum_{i=1}^{m} r_{ij}^{2}\right)$ (1) 式中, TLI 是所有营养参数指标的总和, TLI, 是第 j 个水质指标的 TLI 值, m 是参与评估水质指标的数量, W_{j} 是第 j 个水质指标在 TLI 中的权重. 金相灿等[34] 调查分析了中国 26 个主要湖泊, 总结了中国湖泊部分水质参数与 Chla 的相关关系[1 (Chla)、

0.84 (TP)和0.82 (TN)],尽管有许多不同的评价 参数,但 Chla、TP 和 TN 是 3 个基本参数[35].

Chla、TP 和 TN 的 TLI 值计算如下[36]:

$$TLI(Chla) = 10(2.5 + 1.086 ln Chla)$$
 (2)

$$TLI(TP) = 10(9.436 + 1.624 \ln TP)$$
 (3)

$$TLI(TN) = 10(5.453 + 1.694 \ln TN)$$
 (4)

式中, Chla 的单位为mg·m⁻³, TP 和 TN 的单位为 $mg \cdot L^{-1}$.

湖泊营养状态分为5个等级,贫营养(TLI< 30),中营养(30≤TLI≤50),轻度富营养(50 < TLI ≤60),中度富营养(60 < TLI ≤ 70)和重度富营养 (TLI > 70).

1.2.4 空间自相关分析

本研究采用空间自相关分析来研究松花湖湖区 富营养化聚集特征及分析其空间格局. 空间自相关 是一种空间统计方法,是指某些变量在同一或不同 分布区域内的观测数据之间潜在的相互依赖性,是

检验某个变量属性值是否显著与其相邻空间点的属 性值相关联的重要指标,分为正相关和负相关,正相 关表明某单元的属性值变化与其邻近空间单位具有 相同变化趋势,负相关则相反.空间自相关包括全局 自相关和局部自相关,测度指标分别是 Global Moran's I(全局莫兰指数)以及 Local Moran's I(局部 莫兰指数)[37,38].

(1)全局空间自相关 Global Moran's I 是全区 域测度空间要素属性值聚合或离散的程度. 本研究 采用 Global Moran's I来衡量全局空间自相关性.可 用公式(5)表示:

Global Moran's
$$I = \frac{\sum_{i=1}^{n} \sum_{j=1}^{n} \mathbf{w}_{ij} (x_i - \bar{x}) (x_j - \bar{x})}{s^2 \sum_{i=1}^{n} \sum_{j=1}^{n} \mathbf{w}_{ij}}$$

$$(5)$$

$$s^2 = \frac{1}{n} \sum_{i=1}^{n} (x_i - \bar{x})^2$$

$$s^{2} = \frac{1}{n} \sum_{i=1}^{n} (x_{i} - \bar{x})^{2}$$
 (6)

式中, Moran's I 取值范围为[-1,1]. I > 0 表示空间 正相关性,其值越大,空间相关性越明显,即空间要 素在整体空间区域聚合. I < 0 表示空间负相关性 其值越小,空间差异越大,即空间要素在整体空间区 域离散; I=0, 空间呈随机性, 即空间要素在整体空 间区域趋于随机分布. n 是空间单元数目, x, 和 x, 表 示空间单元i和j的属性值, w_i 是空间权重系数矩 阵,表示各空间单元邻近关系.

(2)局部空间自相关 Local Moran's I 可进一 步确定空间要素属性值的空间集聚区或孤立区所在 的位置,以及异常点所在的位置. 它可以测度各种集 聚值及该集聚出现在何区域,局部空间自相关采用 局部 Local Moran's I来分析对研究区域内每个空间 单元在整体区域内的空间分布状态,根据每个空间 单元的取值分析空间格局,Local Moran's I 指数的计 算公式为如下:

Local Moran's
$$I = \frac{n(x_i - \bar{x}) \sum_{j=1}^{m} \mathbf{w}_{ij} (x_j - \bar{x})}{\sum_{i=1}^{n} (x_i - \bar{x})^2}$$
 (7)

式中, 当 $I_i > 0$ 时, 区域空间单元 i 与相邻空间单元 i存在较强的正空间自相关关系,表示局部空间集聚, 当 $I_i < 0$ 时,说明存在较强的负空间自相关关系,n是空间单元数目 $,x_i$ 和 x_j 表示空间单元i 和j 的属 性值,w;;是空间权重系数矩阵.

2 结果与分析

2.1 水环境因子特征与评价

由表 1 可知, 松花湖 pH 平均值为 8.65, 最小值

为 8. 26, 表明水体总体呈弱碱性. 松花湖水样中 TN 质量浓度范围为 0. 30 ~ 4. 60 mg·L⁻¹, 平均值为 2. 04 mg·L⁻¹, TP 质量浓度范围为 0. 01 ~ 0. 49 mg·L⁻¹, 平均值为 0. 23 mg·L⁻¹, 其含量的平均值均超国家 V 类湖库水质限值. DO 质量浓度范围为 7. 73 ~ 10. 49 mg·L⁻¹, 平均值为 9. 15 mg·L⁻¹.

2.2 水环境因子空间变化特征

本研究将松花湖的3个区域:丰满水库主库区、松花江三湖保护区实验区和蛟河回水区分为3组数据对其水环境因子进行方差分析(均通过方差齐性检验,图2),结果表明除DO与Chla外,TN、TP、

WT 和 pH 在 3 个区域内存在显著性差异 (P < 0.05).

表 1 研究区水质因子特征

Table 1 Characteristics of the water quality factors in the study area

水质因子	均值 ± 标准差	实测值范围
WT∕°C	13. 89 ± 1. 71	10. 5 ~ 17. 2
pH	8.65 ± 0.24	8. 26 ~ 9. 03
$DO/mg \cdot L^{-1}$	9. 15 ± 0.56	7. 73 ~ 10. 49
Chla/mg • L $^{-1}$	6.27 ± 6.87	0. 11 ~ 30. 75
$TN/mg \cdot L^{-1}$	2.04 ± 1.01	0.3 ~4.6
TP/mg·L ⁻¹	0.23 ± 0.13	0.01 ~ 0.49

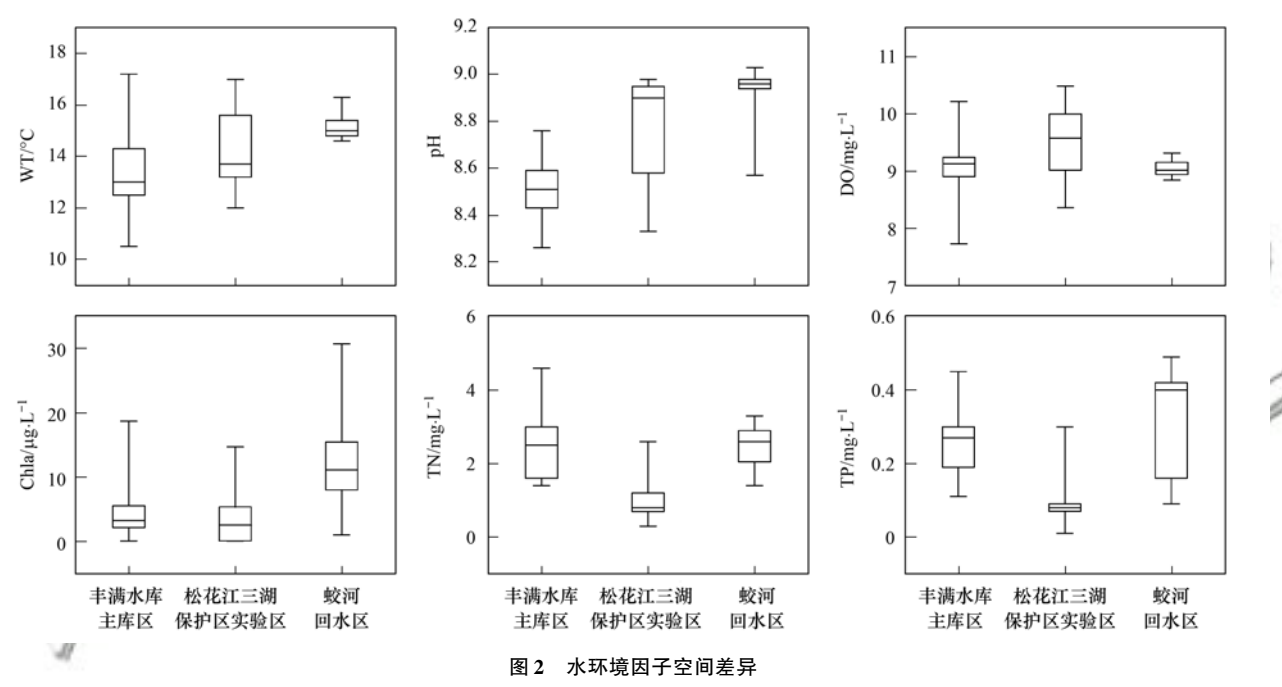


Fig. 2 Spatial variations in the water environmental factors

2.3 水质指标因子分析

经因子分析检验,松花湖各水质指标原始数据之间存在较强的相关性(通过 KMO 与 Bartlett 检验),可以进行因子分析.本文提取了引起水质变化的3个因子,其累积方程贡献率为83.69%,可以充分反映水样原始数据的信息.

由表2可知,松花湖水质指标因子分析提取出3个因子,解释了83.69%的方差.其中因子1的方差贡献率最高,为40.42%,主要由WT和pH组成,反映了气候条件与湖泊化学特征(pH)对水质的影响;因子2的方差贡献率为28.78%,主要由TN、TP和DO组成,反映了湖泊中营养盐(TN和TP)与DO主导着湖泊水质变化,其中TN和TP对因子2有最强的正相关性;因子3的方差贡献率为14.50%,与之关联的指标为Chla,其表征富营养化水平与藻类生物量,反映了湖泊中藻类生物量是水质主导因子.

表 2 松花湖因子分析结果1)

Table 2 Factor analysis results of Songhua Lake

因子1	因子2	因子3
0. 17	0.18	0. 95 *
-0.33	0. 94 *	0. 17
-0.14	0.93 *	0. 29
0. 83 *	-0.05	0.40
0. 92 *	-0.19	0.09
-0.68	0.51 *	0.37
2. 42	1.73	0. 87
40. 42	28.78	14. 50
40. 42	69. 19	83. 69
	0. 17 -0. 33 -0. 14 0. 83 * 0. 92 * -0. 68 2. 42 40. 42	0. 17

1) * 数值表示水质因子在不同因子中载荷大于 0.5 的值

2.4 松花湖富营养化空间自相关分析

2.4.1 综合营养状态指数空间分布

松花湖综合营养状态指数的空间分布见图 3. 整体上,蛟河回水区的综合营养状态指数要高于丰 满水库主库区和松花江三湖保护区实验区,富营养 化水平以轻度富营养为主;综合营养状态指数最低的为松花江三湖保护区实验区,富营养化水平以中营养为主.湖区采样点的综合营养状态指数的平均值为52.70,属轻度富营养化,综合营养状态指数的空间分布与营养盐和藻类的空间分布规律类似.

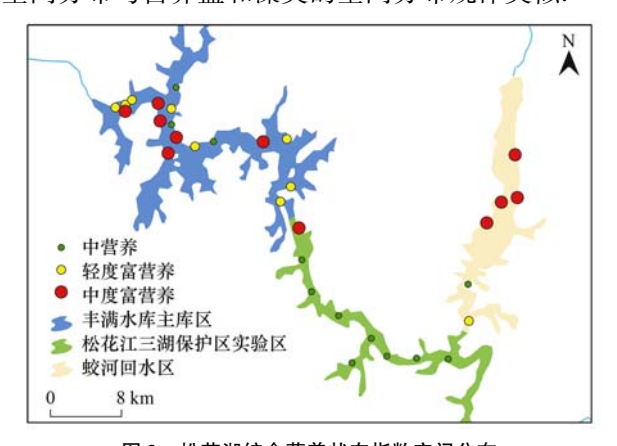


图 3 松花湖综合营养状态指数空间分布

Fig. 3 Spatial distribution of the TLI in Songhua Lake

2.4.2 松花湖综合营养状态指数空间自相关分析

采用 GeoDa 软件对松花湖 32 个采样点的综合营养状态指数进行全局空间自相关分析,结果表明,松花湖 32 个采样点综合营养状态指数的 Global Moran's I 为 0.32,说明松花湖富营养化水平在空间上呈显著的正空间自相关 (P < 0.01),各样点的综合营养状态指数趋于空间聚集,说明在本研究采样尺度下,湖区富营养化水平空间结构性得到了较好地反映.

松花湖综合营养状态指数空间自相关与距离的关系如图 4 所示,在 0~14 km 范围内,Local Moran's I>0,为正空间自相关,存在空间聚集现象;在 14~38 km 范围内,Local Moran's I<0,为负空间自相关,存在空间孤立现象;在 38~43 km 范围内,Local Moran's I>0,空间指标又回到正值.

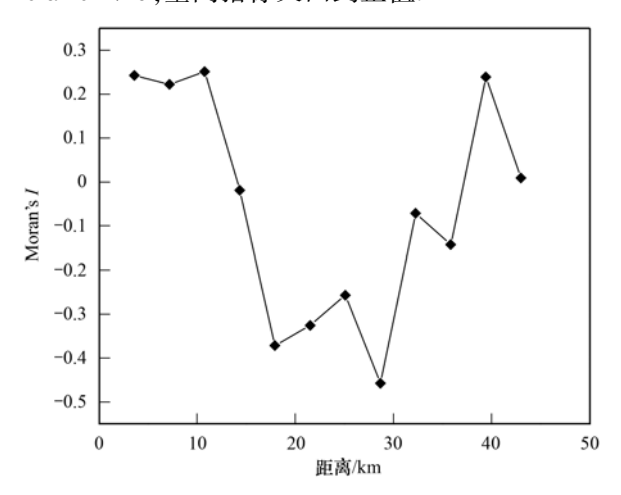


图 4 综合营养状态指数的空间自相关性

Fig. 4 Spatial autocorrelation of the TLI

为进一步分析松花湖富营养化水平空间聚集程度,采用局部空间自相关分析对湖区综合营养状态指数空间聚集程度进行定量化分析. 根据 95% 置信度双侧检验量划分冷热点空间分布(图 5),综合营养状态指数热点(高/高集聚)区域主要分布在松花湖蛟河回水区的中部及北部地区,综合营养状态指数冷点(低/低集聚)区域主要存在于松花江三湖保护区实验区的中部.

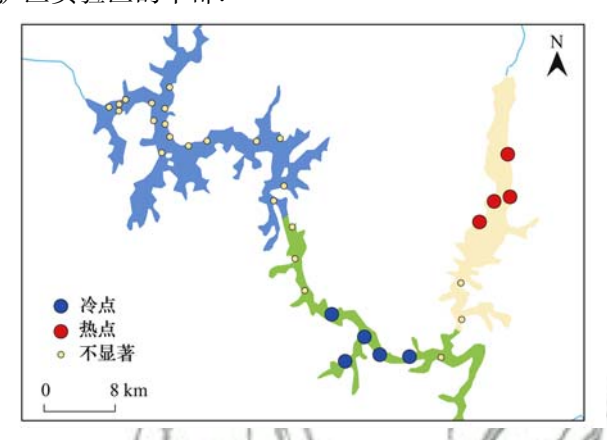


图 5 综合营养状态指数热点分布 Fig. 5 Distribution of the TLI hot spots

3 讨论

3.1 松花湖水质空间特征分析

松花湖水质状况在空间上大体呈现北高南低的 分布特征,根据图2表明,除DO与Chla外,TN、TP、 WT 和 pH 在松花湖 3 个区域内存在显著性差异(P < 0.05),其中TN与TP区域差异明显,蛟河回水区 与丰满水库主库区的 TN、TP 质量浓度要远远高于 松花江三湖保护区实验区,松花湖蛟河回水区主要 承接上游蛟河的来水,蛟河穿越蛟河市区,是蛟河市 主要的排水河道,上游城镇的生活污水等污染物排 入蛟河,大部分污染物随蛟河入湖[38]:其次,松花 湖湖滨带土地利用方式以耕地为主,占到了 44.91% [39],大部分耕地集中在蛟河回水区两岸,土 地利用强度高,降水冲刷耕地产生大量地表径流,加 剧了该地区的面源污染,氮磷流失现象严重. 松花江 三湖保护区实验区位于松花湖的中部,地处生态环 境条件较好的山区河道,在划定的自然保护区区域 内,生态系统结构相对完整和功能相对正常,受人为 干扰较小,土地利用现状多为林地和湿地等[40],基 本上以自然生态环境和景观格局为主,植被多为自 然生长,土地利用强度不大,目前已有研究表明,林 地和湿地等面积的增加对水质改善发挥着极其重要 的作用[41],加之该区域以山区河道为主,具有河流 特点,水体流动性较好,使得水体自净能力得到增 强,有利于污染物的稀释扩散,氮磷污染物在运输过

程中会逐渐被稀释降解^[42]. 丰满水库主库区,同时也是松花湖风景名胜区的主景区,该区域污染物一方面来源于景区景点及旅游设施的开发建设造成的建筑污染,另一方面来源于旅游消费过程中的人类活动^[39].

3.2 松花湖富营养化空间自相关特征分析

松花湖湖区采样点的综合营养状态指数的平均 值为52.70,属轻度富营养化. 松花湖32个采样点 综合营养状态指数的 Global Moran's I 为 0.32,空间 结构上呈正空间自相关,说明松花湖的富营养化水 平在空间上有比较强的相关性. 图 6 为松花湖富营 养化空间特征概念, M 为湖区任意一点, A 为以 M 为圆心,半径为 14 km 的圆形区域, B 为以 M 为圆 心,外径为38 km,内径半径为14 km的圆环区域,C 为以 M 为圆心,外径为43 km,内径半径为38 km的 圆环区域. 由图 6 分析, M 与 A 区域任意一点的富 营养化水平呈正相关关系,与 B 区域任意一点的富 营养化水平呈负相关关系,与 C 区域任意一点的富 营养化水平呈正相关关系. 湖区富营养化水平的空间 特征大体为:距离较近的样点富营养化水平呈显著的 正相关关系,随着距离的增加富营养化水平逐步呈负 相关关系,最后相关性指标又逐渐趋于正值,达到正 相关关系. 近距离的正相关关系反映的是松花湖湖区 相同富营养化水平区域的影响半径,半径为14 km 左 右,区域内影响富营养化水平的因素如水动力条件 水文条件和水体理化性质等相同; 负相关关系反映 的是湖区富营养化水平差别较大区域之间的平均距 离: 而远距离的正相关关系反映的是富营养化水平 相同的不同区域之间的平均距离,通过距离可以看出 富营养化水平相同的区域分别为丰满水库主库区与 蛟河回水区,虽然两个区域的污染源有所不同(丰满 水库主库区以建筑污染与旅游污染为主,蛟河回水区 以农业污染与生活污染为主),但由于污染源都有助 于导致湖区富营养化,所以两个区域的富营养化水平 同样呈现正相关关系. 这种变化趋势反映松花湖湖区 富营养化水平存在空间差异,但由于相同或近似富营 养化水平区域的影响半径较大,使得松花湖富营养化 水平的空间异质性不强.

局部自相关的结果表明,综合营养状态指数热点(高/高集聚)区域主要分布在松花湖蛟河回水区的中部及北部地区(P<0.01),蛟河回水区北部区域直接承接蛟河来水,加之湖滨带面源污染的影响,使得该区域为综合营养状态指数的高聚集区,富营养化水平较高,而由于水体的流动自净能力,到蛟河回水区的南部聚集程度有所下降;综合营养状态指数冷点(低/低集聚)区域主要存在于松花江三湖保

护区实验区的中部(P < 0.05),由于自然禀赋条件优越与人类活动较少等因素,导致该区域为综合营养状态指数的低聚集区.

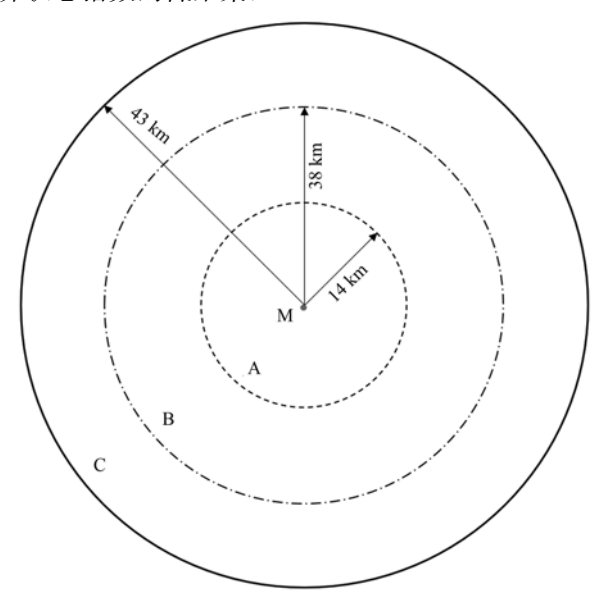


图 6 富营养化空间特征概念

Fig. 6 Conceptual of the spatial characteristics of eutrophication

4 结论

- (1)松花湖水质总体为国家 V 类湖库水质,整体水质较差. 氮磷等水环境因子在松花湖 3 个区域呈现显著的空间差异(P<0.05),蛟河回水区与丰满水库主库区的主要污染源为生活污染、农业面源污染与旅游业污染;气候条件与湖泊化学特征因子(WT、pH)、营养盐因子(TN、TP)与藻类生物量因子(Chla)是湖区水质变化的主导因素.
- (2)松花湖总体富营养化水平为轻度富营养化,蛟河回水区的富营养化水平最高,为中度富营养化,松花江三湖保护区实验区的富营养化水平最低,为中营养状态. 松花湖综合营养状态指数的 Global Moran's I 指数为 0.32,表明在本次采样的尺度下,湖区富营养化水平整体呈现显著的正空间自相关关系. 在本次采样的尺度下,松花湖富营养化水平近距离的正空间自相关性显著的距离为 14 km 左右. 松花湖湖区富营养化水平存在空间差异,但松花湖富营养化水平的空间异质性不强.
- (3)松花湖湖区富营养化水平的热点(高/高集聚)区域主要分布在松花湖蛟河回水区的中部及北部地区(P<0.01),冷点(低/低集聚)区域主要存在于松花江三湖保护区实验区的中部(P<0.05),对于当地管理部门,应将富营养化防治的重点区域落在蛟河回水区与丰满水库主库区.

参考文献:

[1] Ding Y, Dong F, Zhao J Y, et al. Non-point source pollution

- simulation and best management practices analysis based on control units in Northern China [J]. International Journal of Environmental Research and Public Health, 2020, 17(3), doi: 10.3390/ijerph17030868.
- [2] Du H B, Chen Z N, Mao G Z, et al. Evaluation of eutrophication in freshwater lakes: a new non-equilibrium statistical approach[J]. Ecological Indicators, 2019, 102: 686-692.
- [3] 张奇, 刘元波, 姚静, 等. 我国湖泊水文学研究进展与展望[J]. 湖泊科学, 2020, **32**(5): 1360-1379.

 Zhang Q, Liu Y B, Yao J, *et al.* Lake hydrology in China: advances and prospects[J]. Journal of Lake Sciences, 2020, **32** (5): 1360-1379.
- [4] Wu Z S, Cai Y J, Zhang L, et al. Spatial and temporal heterogeneities in water quality and their potential drivers in Lake Poyang (China) from 2009 to 2015 [J]. Limnologica, 2018, 69: 115-124.
- [5] Khan F A, Ansari A A. Eutrophication; an ecological vision [J]. The Botanical Review, 2005, 71(4): 449-482.
- [6] Le Moal M, Gascuel-Odoux C, Ménesguen A, et al. Eutrophication: a new wine in an old bottle? [J]. Science of the Total Environment, 2019, 651: 1-11.
- [7] Qin B Q, Zhu G W, Gao G, et al. A drinking water crisis in Lake Taihu, China: linkage to climatic variability and lake management[J]. Environmental Management, 2010, 45 (1): 105-112.
- [8] Ho J C, Michalak A M. Challenges in tracking harmful algal blooms: a synthesis of evidence from Lake Erie[J]. Journal of Great Lakes Research, 2015, 41(2): 317-325.
- [9] 崔志丹, 冯建国, 焦立新, 等. 松花湖表层沉积物中 PAHs 及 PAEs 污染特征 [J]. 环境科学研究, 2019, **32**(9): 1531-1539.
 Cui Z D, Feng J G, Jiao L X, et al. Pollution characteristics of
 - Cui Z D, Feng J G, Jiao L X, et al. Pollution characteristics of polycyclic aromatic hydrocarbons and phthalate esters in surface sediments of in Songhua Lake [J]. Research of Environmental Sciences, 2019, 32(9): 1531-1539.
- [10] 中华人民共和国生态环境部. 2018 中国生态环境状况公报 [EB/OL]. http://www. mee. gov. cn/ywdt/tpxw/201905/ t20190529_704841.shtml, 2019-05-29.
- [11] Wang X, Bai S Y, Lu X G, et al. Ecological risk assessment of eutrophication in Songhua Lake, China [J]. Stochastic Environmental Research and Risk Assessment, 2008, 22 (4): 477-486.
- [12] Beusen A H W, Bouwman A F, Van Beek L P H, et al. Global riverine N and P transport to ocean increased during the 20th century despite increased retention along the aquatic continuum [J]. Biogeosciences Discussions, 2015, 12 (23): 20123-20148.
- [13] 徐华山,赵磊,孙昊苏,等. 南水北调中线北京段水质状况分析[J]. 环境科学, 2017, **38**(4): 1357-1365. Xu H S, Zhao L, Sun H S, *et al.* Water quality analysis of Beijing segment of South-to-North water diversion middle route project[J]. Environmental Science, 2017, **38**(4): 1357-1365.
- [14] Yuan Y X, Jiang M, Liu X T, et al. Environmental variables influencing phytoplankton communities in hydrologically connected aquatic habitats in the Lake Xingkai basin [J]. Ecological Indicators, 2018, 91: 1-12.
- [15] 张勇, 郭纯青, 朱彦光, 等. 云南荞麦地流域地下水水化学特征及物质来源分析[J]. 环境科学, 2019, **40**(6): 2686-2695.
 - Zhang Y, Guo C Q, Zhu Y G, et al. Chemical characteristics of

- groundwater and material sources analysis in buckwheat field, Yunnan province [J]. Environmental Science, 2019, **40**(6): 2686-2695
- [16] Li Y L, Zhang Q, Cai Y J, et al. Hydrodynamic investigation of surface hydrological connectivity and its effects on the water quality of seasonal lakes: insights from a complex floodplain setting (Poyang Lake, China) [J]. Science of the Total Environment, 2019, 660: 245-259.
- [17] 张柳青, 石玉, 李元鹏, 等. 不同水文情景下高邮湖、南四湖和东平湖有色可溶性有机物的生物可利用性特征[J]. 环境科学, 2020, **41**(5): 2149-2157.

 Zhang L Q, Shi Y, Li Y P, et al. Bioavailability characteristics of chromophoric dissolved organic matter in Lake Gaoyou, Lake Nansi, and Lake Dongping under different hydrological scenarios [J]. Environmental Science, 2020, **41**(5): 2149-2157.
- [18] 湖泊(水库)富营养化评价方法及分级技术规定(总站生字 [2001]090 号)[Z]. 北京:中国环境监测总站,2001.
- [19] Liu D, Du Y X, Yu S J, et al. Human activities determine quantity and composition of dissolved organic matter in lakes along the Yangtze River[J]. Water Research, 2020, 168, doi: 10.1016/j. watres. 2019. 115132.
- [20] Qin H T, Huang Q H, Zhang Z W, et al. Carbon dioxide emission driving factors analysis and policy implications of Chinese cities; combining geographically weighted regression with two-step cluster [J]. Science of the Total Environment, 2019, 684; 413-424.
- [21] 沈中健、曾坚、厦门市热岛强度与相关地表因素的空间关系研究[J]、地理科学、2020、40(5): 842-852.

 Shen Z J, Zeng J. Spatial relationship of heat island intensity to correlated land surface factors in Xiamen city [J]. Scientia Geographica Sinica, 2020, 40(5): 842-852.
- [22] 汪希成,谢冬梅. 我国农村居民食物消费结构的合理性与空间差异[J]. 财经科学, 2020, (3): 120-132.

 Wang X C, Xie D M. The rationality and temporal differences of food consumption structure of rural residents in China [J].

 Finance & Economics, 2020, (3): 120-132.
- [23] 陈云飞,周金龙,曾妍妍,等. 塔里木盆地东南缘绿洲区土壤砷空间分布及农作物砷富集特征[J]. 环境科学, 2020, **41**(1): 438-448.
 Chen Y F, Zhou J L, Zeng Y Y, et al. Spatial distribution of soil arsenic and arsenic enrichment in crops in the oasis region of the

southeastern Tarim basin[J]. Environmental Science, 2020, 41

[24] 周天墨, 付强, 诸云强, 等. 空间自相关方法及其在环境污染领域的应用分析[J]. 测绘通报, 2013, (1): 53-56.

Zhou T M, Fu Q, Zhu Y Q, et al. Research on the application of spatial autocorrelation method in environmental pollution [J].

Bulletin of Surveying and Mapping, 2013, (1): 53-56.

(1): 438-448.

- [25] Li L, Liu X M, Ge J J, et al. Regional differences in spatial spillover and hysteresis effects: a theoretical and empirical study of environmental regulations on haze pollution in China [J]. Journal of Cleaner Production, 2019, 230: 1096-1110.
- [26] 汪花, 刘秀明, 刘方, 等. 喀斯特地区小尺度农业土壤砷的空间分布及污染评价[J]. 环境科学, 2019, **40**(6): 2895-2903.
 - Wang H, Liu X M, Liu F, et al. Spatial distribution and pollution assessment of As at a small scale in agricultural soils of the karst region [J]. Environmental Science, 2019, 40 (6): 2895-2903.
- [27] Zhang C S, Luo L, Xu W L, et al. Use of local Moran's I and GIS to identify pollution hotspots of Pb in urban soils of Galway,

- Ireland[J]. Science of the Total Environment, 2008, 398(13): 212-221.
- [28] Wang J L, Fu Z S, Qiao H X, et al. Assessment of eutrophication and water quality in the estuarine area of Lake Wuli, Lake Taihu, China [J]. Science of the Total Environment, 2019, 650(1): 1392-1402.
- [29] Hao L B, Sun L J, Zhao Y Y, et al. Sedimentary records of evolution of heavy metals in Songhua Lake, Northeast China[J]. CLEAN- Soil, Air, Water, 2013, 41(10): 1010-1017.
- [30] 吴计生, 吕军, 刘洪超, 等. 松花湖生态健康评估[J]. 中国水土保持, 2019, (9): 65-69.

 Wu J S, Lyu J, Liu H C, *et al.* Evaluation on ecosystem health of Songhua Lake [J]. Soil and Water Conservation in China, 2019, (9): 65-69.
- [31] GB 3838-2002, 地表水环境质量标准[S]. GB 3838-2002, Environmental quality standards for surface water [S].
- [32] 张涛, 陈求稳, 易齐涛, 等. 太湖流域上游平原河网区水质空间差异与季节变化特征[J]. 湖泊科学, 2017, **29**(6): 1300-1311.

 Zhang T, Chen Q W, Yi Q T, et al. Spatial and seasonal variations of water quality in the upstream plain river networks of the Taihu basin[J]. Journal of Lake Sciences, 2017, **29**(6): 1300-1311.
- [33] 孟利, 左锐, 王金生, 等. 基于 PCA-APCS-MLR 的地下水污染源定量解析研究[J]. 中国环境科学, 2017, 37(10): 3773-3786.

 Meng L, Zuo R, Wang J S, et al. Quantitative source apportionment of groundwater pollution based on PCA-APCS
 - apportionment of groundwater pollution based on PCA-APCS-MLR[J]. China Environmental Science, 2017, **37**(10): 3773-3786.
- [34] 金相灿. 中国湖泊环境[M]. 北京:海洋出版社, 1995. Jin X C. China lake environment[M]. Beijing: Ocean Press, 1995.
- [35] Yang X E, Wu X, Hao H L, et al. Mechanisms and assessment of water eutrophication [J]. Journal of Zhejiang University SCIENCE B, 2008, 9(3): 197-209.

- [36] 辛胜林,梁月明,彭文杰,等.亚热带典型岩溶水库细菌丰度和细菌生产力及其与环境因子的关系[J].环境科学,2018,39(12):5647-5656.
 - Xin S L, Liang Y M, Peng W J, et al. Relationship between the bacterial abundance and production with environmental factors in a Subtropical Karst reservoir [J]. Environmental Science, 2018, 39(12): 5647-5656.
- [37] 刘宇, 兰双双, 张永祥, 等. 基于空间自相关的地下水脆弱性时空演变[J]. 环境科学, 2017, **38**(10): 4236-4244. Liu Y, Lan S S, Zhang Y X, *et al.* Spatio-temporal evolution of groundwater vulnerability based on spatial autocorrelation [J]. Environmental Science, 2017, **38**(10): 4236-4244.
- [38] 耿郁, 刘富裕. 蛟河市城区水资源状况浅析[J]. 吉林水利, 2010, (10): 12-14.

 Geng Y, Liu F Y. Analysis of the water resources in the urban of Jiaohe City[J]. Jilin Water Resources, 2010, (10): 12-14.
- [39] 高化雨, 韩会玲, 张晶, 等. 基于生态脆弱性评价的松花湖湖滨带功能区划研究[J]. 水生态学杂志, 2019, **40**(6): 1-7.
 - Gao H Y, Han H L, Zhang J. Lakeside function division of Songhua Lake based on ecological vulnerability evaluation [J]. Journal of Hydroecology, 2019, 40(6): 1-7.
- [40] 孙立新. 松花湖流域水土侵蚀和水体富营养化综合防治研究 [D]. 长春: 吉林大学, 2012. 24-26. Sun L X. Integrated control of study on the soil erosion and eutrophication in the Songhua Lake basin [D]. Changchun: Jilin University, 2012. 24-26.
- [41] 胡建, 刘茂松, 周文, 等. 太湖流域水质状况与土地利用格局的相关性[J]. 生态学杂志, 2011, **30**(6): 1190-1197. Hu J, Liu M S, Zhou W, *et al.* Correlations between water quality and land use pattern in Taihu Lake basin[J]. Chinese Journal of Ecology, 2011, **30**(6): 1190-1197.
- [42] 汤洁, 孙立新, 边境, 等. 松花湖富营养化评价及防治措施 [J]. 中国水利, 2010, (19): 40-42.
 - Tang J, Sun L X, Bian J, et al. Eutrophication of Songhua Lake and its control measures [J]. China Water Resources, 2010, (19): 40-42.

HUANJING KEXUE

Environmental Science (monthly)

Vol. 42 No. 5 May 15, 2021

CONTENTS

Chemical Characteristics and Source Apportionment of Organic Aerosols in Atmospheric PM _{2.5} in Winter in Beijing	XU Nan, WANG Tian-tian, LI Xiao, et al. (2101)
Characteristics of Two Pollution Episodes Before and After City Heating in Beijing from February to March of 2019	
Analysis of Characteristics and Causes of a Typical Haze Pollution in Beijing in the Winter of 2019	LIAN Han-yang, YANG Xin, ZHANG Pu, et al. (2121)
New Particle Formation Events in Summer and Winter in the Coastal Atmosphere in Qingdao, China	SUN Yue, ZHU Yu-jiao, MENG He, et al. (2133)
Characteristics of Heavy Metal Pollution and Ecological Risk Evaluation of Indoor Dust from Urban and Rural Areas in Taiyuan City D	
	HUANG Hao, XU Zi-qi, YAN Jun-xia, et al. (2143)
Concentration Analysis and Health Risk Assessment of Air Pollutants in Newly Decorated Public Places in Xi'an	FAN Jie, FAN Hao, SHEN Zhen-xing, et al. (2153)
Emission Concentration and Characteristics of Particulate Matter and Water-Soluble Ions in Exhaust Gas of Typical Combustion Source	s with Ultra-Low Emission
	HU Yue-qi, WANG Zheng, GUO Jian-hui, et al. (2159)
High-Throughput Sequencing Analysis of Microbial Communities in Summertime Atmospheric Particulate Matter in Hefei City	
Spatiotemporal Variations in Fine Particulate Matter and the Impact of Air Quality Control in Zhengzhou	··· DONG Zhe, YUAN Ming-hao, SU Fang-cheng, et al. (2179)
Characteristics of Ozone Pollution and Relationships with Meteorological Factors in Jiangxi Province	
Temporal and Spatial Distribution Characteristics of Aerosol Optical Properties in Urban Agglomerations on the North Slope of the Tiar	nshan Mountains
	ZHANG Zhe, DING Jian-li, WANG Jin-iie, et al. (2202)
Comprehensive Classification Method of Urban Water by Remote Sensing Based on High-Resolution Images	
Construction and Application Optimization of the Chl-a Forecast Model ARIMA for Lake Taihu	
Spatial Differences in Water Quality and Spatial Autocorrelation Analysis of Eutrophication in Songhua Lake	
Pollution and Irrigation Applicability of Surface Water from Wet, Normal, and Dry Periods in the Huixian Karst Wetland, China	
Changes in Water Chemistry and Driving Factors in the Middle and Lower Reaches of the Beijing-Hangzhou Grand Canal CH.	
Effects of Different Land Use Practices on Nitrogen Loss from Runoff During Rainfall Events	
Sources and Fate of Nitrate in Groundwater in a Typical Karst Basin; Insights from Carbon, Nitrogen, and Oxygen Isotopes	
Changes in the Bacterioplankton Community Between "Ice" and "Water" in the Frozen Dali Lake	, , , , , , , , , , , , , , , , , , , ,
Analysis of the Spatial Changes in Bacterial Communities in Urban Reclaimed Water Channel Sediments; A Case Study of the North C	
Analysis of the Spatial Changes in Dacterial Communities in Orban Rectained water Channel Sediments; A Case Study of the North C	OIII Ving IIII Van SII Zhan-hua at al. (2287)
Spatial Differences and Influencing Factors of Denitrification and ANAMMOX Rates in Spring and Summer in Lake Taihu	
Structural Characteristics of Zooplankton and Phytoplankton Communities and Its Relationship with Environmental Factors in a Typical	
Structural Characteristics of Zoophankton and Enylophankton Communities and its Aetanonsinp with Environmental Factors in a Typical	Tributary Reservoir in the Three Gorges Reservoir Region
Application of Iron and Sulfate-Modified Biochar in Phosphorus Removal from Water SAN	
Analysis of the Performance and Mechanism of Phosphorus Removal in Water by Steel Slag	
Adsorption of BS-18 Amphoterically Modified Bentonite to Tetracycline and Norfloxacin Combined Pollutants	
Preparation of Ag ₃ PO ₄ /g-C ₃ N ₄ Composite Photocatalysts and Their Visible Light Photocatalytic Performance	
Activation of Permonosulfate by Rhodamine B for BPA Degradation Under Visible Light Irradiation	
Fe-Ti Co-Doped Alumina-Induced Surface Dual Reaction Center for Catalytic Ozonation to Remove Pollutants from Water	
Preparation of Sulfidated Copper-Iron Bimetallic Composited Material and Its Mechanism for Chromium Removal	
Mechanisms of Penicillin Wastewater Treatment by Coupled Electrocatalytic and Bioelectrochemical Systems	
Aerobic Granular Sludge Operation and Nutrient Removal Mechanism from Domestic Sewage in an Anaerobic/Aerobic Alternating Con	tinuous Flow System
In-situ Phosphorus Removal Activity and Impact of the Organic Matter Concentration on Denitrifying Phosphorus Removal in Sludge Agency (1997).	ggregales
In-situ Sludge Reduction Technology Based on Ozonation	
Effects of Activated Carbon on the Fate of Antibiotic Resistance Genes During Anaerobic Digestion of the Organic Fraction of Municip	al Solid Waste
	MA Jia-ying, WANG Pan-liang, WANG Bing-han, et al. (2413)
Release Mechanisms of Carbon Source and Dissolved Organic Matter of Six Agricultural Wastes in the Initial Stage	LING Yu, YAN Guo-kai, WANG Hai-yan, et al. (2422)
Spatial Differentiation of Soil Organic Carbon Density and Influencing Factors in Typical Croplands of China	LI Cheng, WANG Rang-hui, LI Zhao-zhe, et al. (2432)
Characteristics of Paddy Soil Organic Carbon Mineralization and Influencing Factors Under Different Water Conditions and Microbial E	Biomass Levels ····· LIU Qi, LI Yu-hong, LI Zhe, et al. (2440)
Analysis of Nitrogen Transformation Characteristics and Influencing Factors of Forestland Soil in the Qinghai-Tibet Plateau; A Case St	
	···· HE Fang, ZHANG Li-mei, SHEN Cong-cong, et al. (2449)
Using the Matter-Element Extension Model to Assess Heavy Metal Pollution in Topsoil in Parks in the Main District Park of Lanzhou C	
Effects of Long-Term Application of Chemical Fertilizers and Organic Fertilizers on Heavy Metals and Their Availability in Reddish Pa	addy Soil ·····
	· XIA Wen-jian, ZHANG Li-fang, LIU Zeng-bing, et al. (2469)
Characteristics and Origins of Heavy Metals in Soil and Crops in Mountain Area of Southern Sichuan	
Spatial Distribution Characteristics, Source Apportionment, and Risk Assessment of Topsoil PAHs in the Core Area of the Ningdong E	
T	··· YANG Fan, LUO Hong-xue, ZHONG Yan-xia, et al. (2490)
Functional Stability and Applicability of Heavy Metal Passivators in Reducing Cd Uptake by Lettuce	
Effects of Water Management on Cadmium Accumulation by Rice (Oryza sativa L.) Growing in Typical Paddy Soil	
Adsorption Properties of Oiltea Camellia Shell-Modified Biochar and Effects of Coupled Waterlogging on Soil Cd Morphology	•
Ausorption Properties of Office Cameria Shen-shoulded Blochal and Effects of Coupled Waterlogging on Soft Cd shotphology	
Effects of Land Use Changes on Soil Fungal Community Structure and Function in the Riparian Wetland Along the Downstream of the	
Effects of Early Ose Changes on 30th rungar Community Structure and runction in the ruparian wetland Mong the Downstream of the	XII Fei ZHANG Tuo HIIAI Roo-dong et al. (2521)
Distribution of Antibiotic Resistance Genes and Microbial Communities in a Fishery Reclamation Mining Subsidence Area	
Effects of Three Commonly Used Herbicides on Bacterial Antibiotic Resistance	
Discussion of Microbial Control Standards of Water Reclamation and Formulation Methods	
DISCUSSION OF MICRODIAL CONTROL MAINTENANCE OF WARF RECIAINATION AND FORMULATION METHODS	CITEN ZHUO, CUI QI, CAU Ne-Ian, et al. (2008)